

Modellizzazione del cambiamento di fase nei flussi a interfaccia

Gloria Faccanoni

E.Toro
Università di Trento

G.Allaire
École Polytechnique

S.Kokh
CEA

31 ottobre 2005

Modellazione
del cambiamento
di fase nei flussi a
interfaccia

Gloria Faccanoni

Introduzione

Modellazione
del cambiamento
di fase

Modellazione
statica

Modellazione
dinamica

MTT-equilibrio

Interpretazione

Approssimazione

Test numerici

Prospettive

- 1 Introduzione
- 2 Modellizzazione del cambiamento di fase
 - Modellizzazione statica
 - Modellizzazione dinamica
- 3 MTT-equilibrio
 - Interpretazione
 - Approssimazione
 - Test numerici
- 4 Prospettive

Modellazione
del cambiamento
di fase nei flussi a
interfaccia

Gloria Faccanoni

Introduzione

Modellazione
del cambiamento
di fase

Modellazione
statica

Modellazione
dinamica

MTT-equilibrio

Interpretazione

Approssimazione

Test numerici

Prospettive

- 1 Introduzione
- 2 Modellizzazione del cambiamento di fase
 - Modellizzazione statica
 - Modellizzazione dinamica
- 3 MTT-equilibrio
 - Interpretazione
 - Approssimazione
 - Test numerici
- 4 Prospettive



Kokh S. (2001).

Aspects numériques et théoriques de la modélisation des écoulements diphasiques compressibles par des méthodes de capture d'interfaces.

Ph.D. thesis, Université Paris 6.

- modello isoterma
- modello anisoterma con cambiamento di fase

Esistono

- ⇒ miglioramento dell'algoritmo globale,
- ⇒ risoluzione "esatta" della tappa di rilassamento (cambiamento di fase),
- ⇒ studio completo del caso Gas Perfetto - Gas Perfetto.

Modellizzazione
del cambiamento
di fase nei flussi a
interfaccia

Gloria Faccanoni

Introduzione

Modellizzazione
del cambiamento
di fase

Modellizzazione
statica

Modellizzazione
dinamica

MTT-equilibrio

Interpretazione

Approssimazione

Test numerici

Prospettive



Kokh S. (2001).

Aspects numériques et théoriques de la modélisation des écoulements diphasiques compressibles par des méthodes de capture d'interfaces.

Ph.D. thesis, Université Paris 6.



Caro F. (2004).

Modélisation et simulation numérique des transitions de phase liquide-vapeur.

Ph.D. thesis, École Polytechnique.

- modello isoterma
- modello anisoterma con cambiamento di fase

Risultati

- ⇒ miglioramento dell'algoritmo globale,
- ⇒ risoluzione "esatta" della tappa di rilassamento (cambiamento di fase),
- ⇒ studio completo del caso Gas Perfetto - Gas Perfetto.

Modellizzazione
del cambiamento
di fase nei flussi a
interfaccia

Gloria Faccanoni

Introduzione

Modellizzazione
del cambiamento
di fase

Modellizzazione
statica

Modellizzazione
dinamica

MTT-equilibrio

Interpretazione

Approssimazione

Test numerici

Prospettive



Kokh S. (2001).

Aspects numériques et théoriques de la modélisation des écoulements diphasiques compressibles par des méthodes de capture d'interfaces.

Ph.D. thesis, Université Paris 6.



Caro F. (2004).

Modélisation et simulation numérique des transitions de phase liquide-vapeur.

Ph.D. thesis, École Polytechnique.

- modello isoterma
- modello anisoterma con cambiamento di fase

Risultati

- ⇒ miglioramento dell'algoritmo globale,
- ⇒ risoluzione "esatta" della tappa di rilassamento (cambiamento di fase),
- ⇒ studio completo del caso Gas Perfetto - Gas Perfetto.

Modellizzazione
del cambiamento
di fase nei flussi a
interfaccia

Gloria Faccanoni

Introduzione

Modellizzazione
del cambiamento
di fase

Modellizzazione
statica

Modellizzazione
dinamica

MTT-equilibrio

Interpretazione

Approssimazione

Test numerici

Prospettive



Kokh S. (2001).

Aspects numériques et théoriques de la modélisation des écoulements diphasiques compressibles par des méthodes de capture d'interfaces.

Ph.D. thesis, Université Paris 6.



Caro F. (2004).

Modélisation et simulation numérique des transitions de phase liquide-vapeur.

Ph.D. thesis, École Polytechnique.

- modello isoterma
- modello anisoterma con cambiamento di fase

Risultati

- ➡ miglioramento dell'algoritmo globale,
- ➡ risoluzione "esatta" della tappa di rilassamento (cambiamento di fase),
- ➡ studio completo del caso Gas Perfetto - Gas Perfetto.



Kokh S. (2001).

Aspects numériques et théoriques de la modélisation des écoulements diphasiques compressibles par des méthodes de capture d'interfaces.

Ph.D. thesis, Université Paris 6.



Caro F. (2004).

Modélisation et simulation numérique des transitions de phase liquide-vapeur.

Ph.D. thesis, École Polytechnique.

- modello isoterma
- modello anisoterma con cambiamento di fase

Risultati

- ➡ miglioramento dell'algoritmo globale,
- ➡ risoluzione "esatta" della tappa di rilassamento (cambiamento di fase),
- ➡ studio completo del caso Gas Perfetto - Gas Perfetto.

Modellazione
del cambiamento
di fase nei flussi a
interfaccia

Gloria Faccanoni

Introduzione

Modellazione
del cambiamento
di fase

Modellazione
statica

Modellazione
dinamica

MTT-equilibrio

Interpretazione

Approssimazione

Test numerici

Prospettive

- 1 Introduzione
- 2 Modellizzazione del cambiamento di fase
 - Modellizzazione statica
 - Modellizzazione dinamica
- 3 MTT-equilibrio
 - Interpretazione
 - Approssimazione
 - Test numerici
- 4 Prospettive

Modellazione
del cambiamento
di fase nei flussi a
interfaccia

Gloria Faccanoni

Introduzione

Modellazione
del cambiamento
di fase

Modellazione
statica

Modellazione
dinamica

MTT-equilibrio

Interpretazione
Approssimazione
Test numerici

Prospettive

- 1 Introduzione
- 2 Modellizzazione del cambiamento di fase
 - **Modellazione statica**
 - Modellizzazione dinamica
- 3 MTT-equilibrio
 - Interpretazione
 - Approssimazione
 - Test numerici
- 4 Prospettive

Modello a interfaccia “inispessita”

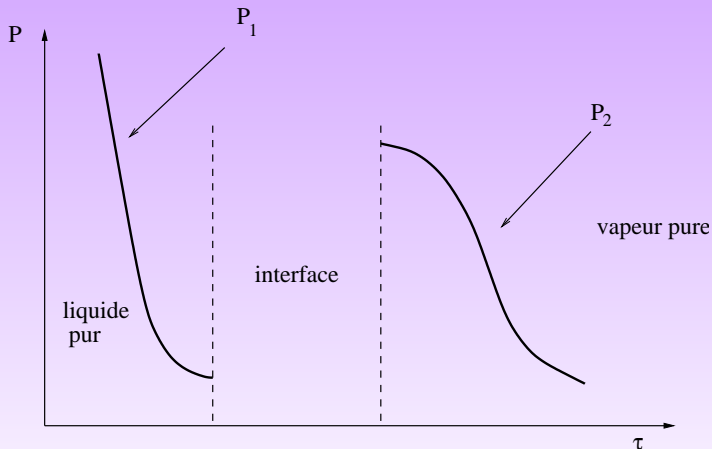


Figura: $P_\alpha = P_\alpha(\tau)$ a entropia o temperatura costante

Modellizzazione
del cambiamento
di fase nei flussi a
interfaccia

Gloria Faccanoni

Introduzione

Modellizzazione
del cambiamento
di fase

Modellizzazione
statica

Modellizzazione
dinamica

MTT-equilibrio

Interpretazione

Approssimazione

Test numerici

Prospettive

Modello a interfaccia "inspessita"

Modellizzazione
del cambiamento
di fase nei flussi a
interfaccia

Gloria Faccanoni

Introduzione

Modellizzazione
del cambiamento
di fase

Modellizzazione
statica

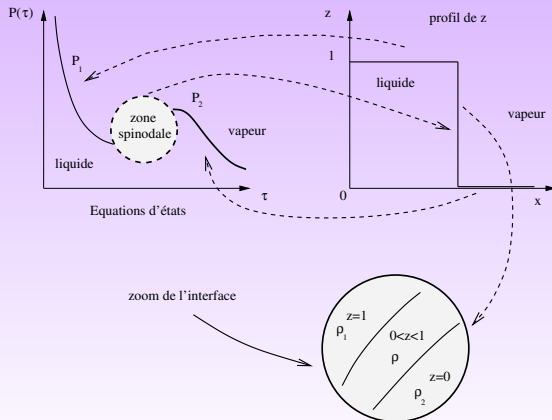
Modellizzazione
dinamica

MTT-equilibrio

Interpretazione
Approssimazione
Test numerici

Prospettive

Figura: Parametro d'ordine astratto $z \in [0, 1]$ che fornisce la posizione dell'interfaccia



Modello a interfaccia “inispessita”

Modellizzazione
del cambiamento
di fase nei flussi a
interfaccia

Gloria Faccanoni

Introduzione

Modellizzazione
del cambiamento
di fase

Modellizzazione
statica

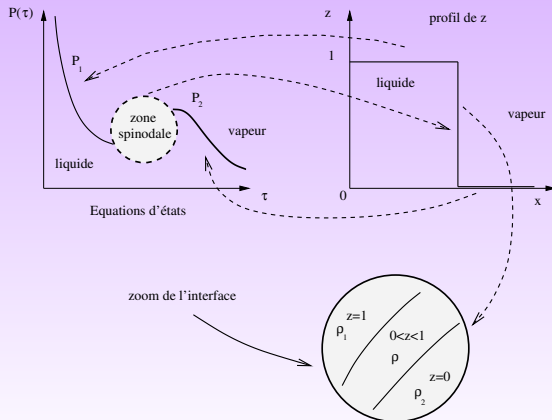
Modellizzazione
dinamica

MTT-equilibrio

Interpretazione
Approssimazione
Test numerici

Prospettive

Figura: Parametro d'ordine astratto $z \in [0, 1]$ che fornisce la posizione dell'interfaccia



Interfaccia $\Gamma(t) := \{ (x, t) \text{ tali che } 0 < z(x, t) < 1 \}$

Modello a interfaccia “inispessita”

Notazioni e relazioni

Modellazione
del cambiamento
di fase nei flussi a
interfaccia

Gloria Faccanoni

Introduzione

Modellazione
del cambiamento
di fase

Modellazione
statica

Modellazione
dinamica

MTT-equilibrio

Interpretazione
Approssimazione
Test numerici

Prospettive

Notazioni e relazioni costitutive per il sistema bifase:

Modello a interfaccia “inispessita”

Notazioni e relazioni

Modellazione
del cambiamento
di fase nei flussi a
interfaccia

Gloria Faccanoni

Introduzione

Modellazione
del cambiamento
di fase

Modellazione
statica

Modellazione
dinamica

MTT-equilibrio

Interpretazione
Approssimazione
Test numerici

Prospettive

Notazioni e relazioni costitutive per il sistema bifase:

densità del miscuglio: $\rho = z\rho_1 + (1 - z)\rho_2$

volume del miscuglio: $\tau = y\tau_1 + (1 - y)\tau_2$ con $y := \frac{z\rho_1}{\rho}$

Modello a interfaccia “inspessita”

Notazioni e relazioni

Modellizzazione
del cambiamento
di fase nei flussi a
interfaccia

Gloria Faccanoni

Introduzione

Modellizzazione
del cambiamento
di fase

Modellizzazione
statica

Modellizzazione
dinamica

MTT-equilibrio

Interpretazione
Approssimazione
Test numerici

Prospettive

Notazioni e relazioni costitutive per il sistema bifase:

densità del miscuglio: $\rho = z\rho_1 + (1 - z)\rho_2$

volume del miscuglio: $\tau = y\tau_1 + (1 - y)\tau_2$ con $y := \frac{z\rho_1}{\rho}$

energia interna del miscuglio: $\varepsilon = y\varepsilon_1 + (1 - y)\varepsilon_2$

Modello a interfaccia “inspessita”

Notazioni e relazioni

Modellizzazione
del cambiamento
di fase nei flussi a
interfaccia

Gloria Faccanoni

Introduzione

Modellizzazione
del cambiamento
di fase

Modellizzazione
statica

Modellizzazione
dinamica

MTT-equilibrio

Interpretazione
Approssimazione
Test numerici

Prospettive

Notazioni e relazioni costitutive per il sistema bifase:

densità del miscuglio: $\rho = z\rho_1 + (1 - z)\rho_2$

volume del miscuglio: $\tau = y\tau_1 + (1 - y)\tau_2$ con $y := \frac{z\rho_1}{\rho}$

energia interna del miscuglio: $\varepsilon = y\varepsilon_1 + (1 - y)\varepsilon_2$

entropia fisica della fase α : s_α $\alpha = 1, 2.$
 entalpia libera della fase α : g_α

Modellazione statica

Ottimizzazione

Modellazione
del cambiamento
di fase nei flussi a
interfaccia

Gloria Faccanoni

Introduzione

Modellazione
del cambiamento
di fase

Modellazione
statica

Modellazione
dinamica

MTT-equilibrio

Interpretazione
Approssimazione
Test numerici

Prospettive

Ph.Helluy e Th.Barberon:

Senza cambiamento di fase

$$s_1(\rho_1, \varepsilon_1)$$

$$s_2(\rho_2, \varepsilon_2)$$

Modellazione statica

Ottimizzazione

Modellazione
del cambiamento
di fase nei flussi a
interfaccia

Gloria Faccanoni

Introduzione

Modellazione
del cambiamento
di fase

Modellazione
statica

Modellazione
dinamica

MTT-equilibrio

Interpretazione
Approssimazione
Test numerici

Prospettive

Ph.Helluy e Th.Barberon:

Senza cambiamento di fase

$$s_1(\rho_1, \varepsilon_1)$$

$$s_2(\rho_2, \varepsilon_2)$$

$$s := \{y s_1 + (1 - y) s_2\}$$

Modellazione statica

Ottimizzazione

Modellazione
del cambiamento
di fase nei flussi a
interfaccia

Gloria Faccanoni

Introduzione

Modellazione
del cambiamento
di fase

Modellazione
statica

Modellazione
dinamica

MTT-equilibrio

Interpretazione

Approssimazione

Test numerici

Prospettive

Ph.Helluy e Th.Barberon:

Con cambiamento di fase

$$s_1(\rho_1, \varepsilon_1)$$

$$s_2(\rho_2, \varepsilon_2)$$

$$s := \max_y \{y s_1 + (1 - y) s_2\}$$

Modellazione statica

Ottimizzazione

Modellazione
del cambiamento
di fase nei flussi a
interfaccia

Gloria Faccanoni

Introduzione

Modellazione
del cambiamento
di fase

Modellazione
statica

Modellazione
dinamica

MTT-equilibrio

Interpretazione
Approssimazione
Test numerici

Prospettive

Ph.Helluy e Th.Barberon:

Con cambiamento di fase

$$s_1(\rho_1, \varepsilon_1)$$

$$s_2(\rho_2, \varepsilon_2)$$

$$s := \max_y \{y s_1 + (1 - y) s_2\}$$

$s(\rho, \varepsilon)$ del miscuglio con cambiamento di fase

Modellazione statica

Ottimizzazione

Modellazione
del cambiamento
di fase nei flussi a
interfaccia

Gloria Faccanoni

Introduzione

Modellazione
del cambiamento
di fase

Modellazione
statica

Modellazione
dinamica

MTT-equilibrio

Interpretazione
Approssimazione
Test numerici

Prospettive

Ph.Helluy e Th.Barberon:

Con cambiamento di fase

$$s_1(\rho_1, \varepsilon_1)$$

$$s_2(\rho_2, \varepsilon_2)$$

$$s := \max_y \{y s_1 + (1 - y) s_2\} = s_1 \square s_2$$

$s(\rho, \varepsilon)$ del miscuglio con cambiamento di fase

Ph.Helluy e Th.Barberon:

Con cambiamento di fase

$$s_1(\rho_1, \varepsilon_1)$$

$$s_2(\rho_2, \varepsilon_2)$$

$$s := \max_y \{y s_1 + (1 - y) s_2\} = s_1 \square s_2 = (s_1^* + s_2^*)^*$$

$s(\rho, \varepsilon)$ del miscuglio con cambiamento di fase

Modellazione
del cambiamento
di fase nei flussi a
interfaccia

Gloria Faccanoni

Introduzione

Modellazione
del cambiamento
di fase

Modellazione
statica

Modellazione
dinamica

MTT-equilibrio

Interpretazione
Approssimazione
Test numerici

Prospettive

- 1 Introduzione
- 2 Modellizzazione del cambiamento di fase
 - Modellizzazione statica
 - **Modellazione dinamica**
- 3 MTT-equilibrio
 - Interpretazione
 - Approssimazione
 - Test numerici
- 4 Prospettive

Equazioni:

$$\begin{cases}
 \partial_t(z\rho_1) & + \operatorname{div}(z\rho_1 u) & = \mathcal{S}_y, \\
 \partial_t((1-z)\rho_2) & + \operatorname{div}((1-z)\rho_2 u) & = -\mathcal{S}_y, \\
 \partial_t(\rho u) & + \operatorname{div}(\rho u \otimes u + P \operatorname{Id}) & = 0, \\
 \partial_t(\rho(\varepsilon + |u|^2/2)) & + \operatorname{div}((\rho(\varepsilon + |u|^2/2) + P) u) & = 0, \\
 \partial_t z & + u \cdot \mathbf{grad} z & = \mathcal{S}_z,
 \end{cases}$$

Equazioni:

$$\begin{cases}
 \partial_t(z\rho_1) & + \operatorname{div}(z\rho_1 u) & = \mathcal{S}_y, \\
 \partial_t((1-z)\rho_2) & + \operatorname{div}((1-z)\rho_2 u) & = -\mathcal{S}_y, \\
 \partial_t(\rho u) & + \operatorname{div}(\rho u \otimes u + P \operatorname{Id}) & = 0, \\
 \partial_t(\rho(\varepsilon + |u|^2/2)) & + \operatorname{div}((\rho(\varepsilon + |u|^2/2) + P) u) & = 0, \\
 \partial_t z & + u \cdot \mathbf{grad} z & = \mathcal{S}_z,
 \end{cases}$$

Equazioni:

$$\left\{ \begin{array}{lll} \partial_t(z\rho_1) & + \operatorname{div}(z\rho_1 u) & = S_y, \\ \partial_t((1-z)\rho_2) & + \operatorname{div}((1-z)\rho_2 u) & = -S_y, \\ \partial_t(\rho u) & + \operatorname{div}(\rho u \otimes u + P \operatorname{Id}) & = 0, \\ \partial_t(\rho(\varepsilon + |u|^2/2)) & + \operatorname{div}((\rho(\varepsilon + |u|^2/2) + P)u) & = 0, \\ \partial_t z & + u \cdot \mathbf{grad} z & = S_z, \end{array} \right.$$

chiusura isoterma

$$\begin{aligned} T_1 &= T_2, \\ P &= \sum_{\alpha} z_{\alpha} P_{\alpha}, \\ S_y &= \lambda(g_2 - g_1), \\ S_z &= \kappa(P_1 - P_2), \end{aligned}$$

chiusura isobara (gas perfetti)

$$\begin{aligned} P &= P_1 = P_2, \\ S_y &= \lambda(h_2 - h_1), \\ S_z &= \kappa(\rho_1 s_1 T_1 - \rho_2 s_2 T_2). \end{aligned}$$

Equazioni:

$$\left\{ \begin{array}{llll} \partial_t(z\rho_1) & + & \operatorname{div}(z\rho_1 u) & = & S_y, \\ \partial_t((1-z)\rho_2) & + & \operatorname{div}((1-z)\rho_2 u) & = & -S_y, \\ \partial_t(\rho u) & + & \operatorname{div}(\rho u \otimes u + P \operatorname{Id}) & = & 0, \\ \partial_t(\rho(\varepsilon + |u|^2/2)) & + & \operatorname{div}((\rho(\varepsilon + |u|^2/2) + P) u) & = & 0, \\ \partial_t z & + & u \cdot \mathbf{grad} z & = & S_z, \end{array} \right.$$

chiusura isoterma

$$\begin{aligned} T_1 &= T_2, \\ P &= \sum_{\alpha} z_{\alpha} P_{\alpha}, \\ S_y &= \lambda(g_2 - g_1), \\ S_z &= \kappa(P_1 - P_2), \end{aligned}$$

$$\begin{aligned} \partial_t(\rho s) + \operatorname{div}(\rho u s) &= \\ &= \frac{(S_z(P_1 - P_2) + S_y(g_2 - g_1))}{T} \geq 0 \end{aligned}$$

$$\begin{aligned} S_y &= \lambda(g_2 - g_1), \\ S_z &= \kappa(P_1 - P_2). \end{aligned}$$

Modellazione
del cambiamento
di fase nei flussi a
interfaccia

Gloria Faccanoni

Introduzione

Modellazione
del cambiamento
di fase

Modellazione
statica

Modellazione
dinamica

MTT-equilibrio

Interpretazione

Approssimazione

Test numerici

Prospettive

- 1 Introduzione
- 2 Modellizzazione del cambiamento di fase
 - Modellizzazione statica
 - Modellizzazione dinamica
- 3 **MTT-equilibrio**
 - Interpretazione
 - Approssimazione
 - Test numerici
- 4 Prospettive

Modello MTT-equilibrio

Modellizzazione
del cambiamento
di fase nei flussi a
interfaccia

Gloria Faccanoni

Introduzione

Modellizzazione
del cambiamento
di fase

Modellizzazione
statica

Modellizzazione
dinamica

MTT-equilibrio

Interpretazione

Approssimazione

Test numerici

Prospettive

$$\begin{cases}
 \partial_t(z\rho_1) & + \operatorname{div}(z\rho_1 u) & = \lambda(g_2 - g_1) \\
 \partial_t((1-z)\rho_2) & + \operatorname{div}((1-z)\rho_2 u) & = -\lambda(g_2 - g_1) \\
 \partial_t(\rho u) & + \operatorname{div}(\rho u \otimes u + P) & = 0 \\
 \partial_t(\rho(\varepsilon + |u|^2/2)) & + \operatorname{div}((\rho(\varepsilon + |u|^2/2) + P) u) & = 0 \\
 \partial_t z & + u \cdot \mathbf{grad} z & = k(P_2 - P_1)
 \end{cases}$$

Modello MTT-equilibrio

Modellizzazione
del cambiamento
di fase nei flussi a
interfaccia

Gloria Faccanoni

Introduzione

Modellizzazione
del cambiamento
di fase

Modellizzazione
statica

Modellizzazione
dinamica

MTT-equilibrio

Interpretazione

Approssimazione

Test numerici

Prospettive

$$\begin{cases} \partial_t(z\rho_1) & + \operatorname{div}(z\rho_1 u) & = \lambda(g_2 - g_1) \\ \partial_t((1-z)\rho_2) & + \operatorname{div}((1-z)\rho_2 u) & = -\lambda(g_2 - g_1) \\ \partial_t(\rho u) & + \operatorname{div}(\rho u \otimes u + P) & = 0 \\ \partial_t(\rho(\varepsilon + |u|^2/2)) & + \operatorname{div}((\rho(\varepsilon + |u|^2/2) + P) u) & = 0 \\ \partial_t z & + u \cdot \operatorname{grad} z & = k(P_2 - P_1) \end{cases}$$

$$\kappa = \lambda = +\infty$$

trovare $\rho_\alpha^* \geq 0$ et $z^* \in [0, 1]$ tali che

$$\begin{cases} T_1 = T_2 & \text{(chiusura isoterma)} \\ P_1(\rho_1, T_1) = P_2(\rho_2, T_2) & (k \rightarrow +\infty) \text{ (eq. meccanico)} \\ g_1(\rho_1, T_1) = g_2(\rho_2, T_2) & (\lambda \rightarrow +\infty) \text{ (eq. termodinamico)} \end{cases}$$

$$\text{con i vincoli } \begin{cases} \rho \varepsilon & = z^* \rho_1^* \varepsilon_1 + (1 - z^*) \rho_2^* \varepsilon_2 \\ \rho & = z^* \rho_1^* + (1 - z^*) \rho_2^* \end{cases}$$

Modello MTT-equilibrio

Modellizzazione
del cambiamento
di fase nei flussi a
interfaccia

Gloria Faccanoni

Introduzione

Modellizzazione
del cambiamento
di fase

Modellizzazione
statica

Modellizzazione
dinamica

MTT-equilibrio

Interpretazione

Approssimazione

Test numerici

Prospettive

$$\begin{cases} \partial_t(z\rho_1) & + \operatorname{div}(z\rho_1 u) & = \lambda(g_2 - g_1) \\ \partial_t((1-z)\rho_2) & + \operatorname{div}((1-z)\rho_2 u) & = -\lambda(g_2 - g_1) \\ \partial_t(\rho u) & + \operatorname{div}(\rho u \otimes u + P) & = 0 \\ \partial_t(\rho(\varepsilon + |u|^2/2)) & + \operatorname{div}((\rho(\varepsilon + |u|^2/2) + P)u) & = 0 \\ \partial_t z & + u \cdot \mathbf{grad} z & = k(P_2 - P_1) \end{cases}$$

$$\kappa = \lambda = +\infty$$

trovare $\rho_\alpha^* \geq 0$ et $z^* \in [0, 1]$ tali che

$$\begin{cases} T_1 = T_2 & \text{(chiusura isoterma)} \\ P_1(\rho_1, T_1) = P_2(\rho_2, T_2) & (k \rightarrow +\infty) \text{ (eq. meccanico)} \\ g_1(\rho_1, T_1) = g_2(\rho_2, T_2) & (\lambda \rightarrow +\infty) \text{ (eq. termodinamico)} \end{cases}$$

$$\text{con i vincoli } \begin{cases} \rho \varepsilon & = z^* \rho_1^* \varepsilon_1 + (1 - z^*) \rho_2^* \varepsilon_2 \\ \rho & = z^* \rho_1^* + (1 - z^*) \rho_2^* \end{cases}$$

Modellizzazione
del cambiamento
di fase nei flussi a
interfaccia

Gloria Faccanoni

Introduzione

Modellizzazione
del cambiamento
di fase

Modellizzazione
statica

Modellizzazione
dinamica

MTT-equilibrio

Interpretazione

Approssimazione

Test numerici

Prospettive

Problemi

- 1 giustificare fisicamente il passaggio al limite
- 2 calcolare ρ_α^* e z^* .

Modellizzazione
del cambiamento
di fase nei flussi a
interfaccia

Gloria Faccanoni

Introduzione

Modellizzazione
del cambiamento
di fase

Modellizzazione
statica

Modellizzazione
dinamica

MTT-equilibrio

Interpretazione

Approssimazione

Test numerici

Prospettive

Problemi

- 1 giustificare fisicamente il passaggio al limite
- 2 calcolare ρ_α^* e z^* .

Modellizzazione
del cambiamento
di fase nei flussi a
interfaccia

Gloria Faccanoni

Introduzione

Modellizzazione
del cambiamento
di fase

Modellizzazione
statica

Modellizzazione
dinamica

MTT-equilibrio

Interpretazione

Approssimazione

Test numerici

Prospettive

Problemi

- 1 giustificare fisicamente il passaggio al limite
- 2 calcolare ρ_α^* e z^* .

Modellazione
del cambiamento
di fase nei flussi a
interfaccia

Gloria Faccanoni

Introduzione

Modellazione
del cambiamento
di fase

Modellazione
statica

Modellazione
dinamica

MTT-equilibrio

Interpretazione

Approssimazione

Test numerici

Prospettive

- 1 Introduzione
- 2 Modellizzazione del cambiamento di fase
 - Modellizzazione statica
 - Modellizzazione dinamica
- 3 MTT-equilibrio
 - **Interpretazione**
 - Approssimazione
 - Test numerici
- 4 Prospettive

Modellizzazione
del cambiamento
di fase nei flussi a
interfaccia

Gloria Faccanoni

Introduzione

Modellizzazione
del cambiamento
di fase

Modellizzazione
statica

Modellizzazione
dinamica

MTT-equilibrio

Interpretazione

Approssimazione

Test numerici

Prospettive

Teorema

Rilassamento:

$$\begin{cases} T_1 = T_2 \\ P_1(\rho_1, T_1) = P_2(\rho_2, T_2) \\ g_1(\rho_1, T_1) = g_2(\rho_2, T_2) \end{cases}$$

(formalmente)

Pb. d'ottimizzazione:

$$\begin{cases} \max_{y \in]0,1[} S(y, \tau_1, \varepsilon_1, \tau_2, \varepsilon_2) \\ \text{vincoli:} \quad \begin{array}{l} 1. \quad \varepsilon = y\varepsilon_1 + (1-y)\varepsilon_2 \\ 2. \quad \tau = y\tau_1 + (1-y)\tau_2 \\ \varepsilon, \tau \text{ fissati} \end{array} \end{cases}$$

Teorema

Rilassamento:

$$\begin{cases} T_1 = T_2 \\ P_1(\rho_1, T_1) = P_2(\rho_2, T_2) \\ g_1(\rho_1, T_1) = g_2(\rho_2, T_2) \end{cases}$$

(formalmente)



Pb. d'ottimizzazione:

$$\begin{cases} \max_{y \in]0,1[} & s(y, \tau_1, \varepsilon_1, \tau_2, \varepsilon_2) \\ \text{vincoli:} & \begin{array}{l} 1. \quad \varepsilon = y\varepsilon_1 + (1-y)\varepsilon_2 \\ 2. \quad \tau = y\tau_1 + (1-y)\tau_2 \\ \quad \quad \varepsilon, \tau \text{ fissati} \end{array} \end{cases}$$

Modellazione
del cambiamento
di fase nei flussi a
interfaccia

Gloria Faccanoni

Introduzione

Modellazione
del cambiamento
di fase

Modellazione
statica

Modellazione
dinamica

MTT-equilibrio

Interpretazione

Approssimazione

Test numerici

Prospettive

Traccia della dimostrazione.

$$s = ys_1(\tau_1, \varepsilon_1) + (1 - y)s_2(\tau_2, \varepsilon_2) \quad \text{con} \quad y := \frac{z\rho_1}{\rho}$$

- L'ottimizzazione rispetto a ε_α equivale a $T_1 = T_2$.
- L'ottimizzazione rispetto a τ_α equivale a $\frac{P_1}{T_1} = \frac{P_2}{T_2}$ e quindi a $P_1 = P_2$.
- L'ottimizzazione rispetto a y equivale a $\frac{g_1}{T_1} = \frac{g_2}{T_2}$ e quindi a $g_1 = g_2$.



Modellazione
del cambiamento
di fase nei flussi a
interfaccia

Gloria Faccanoni

Introduzione

Modellazione
del cambiamento
di fase

Modellazione
statica

Modellazione
dinamica

MTT-equilibrio

Interpretazione

Approssimazione

Test numerici

Prospettive

Traccia della dimostrazione.

$$\mathbf{s} = y\mathbf{s}_1(\tau_1, \varepsilon_1) + (1 - y)\mathbf{s}_2(\tau_2, \varepsilon_2) \quad \text{con} \quad y := \frac{z\rho_1}{\rho}$$

- L'ottimizzazione rispetto a ε_α equivale a $T_1 = T_2$.
- L'ottimizzazione rispetto a τ_α equivale a $\frac{P_1}{T_1} = \frac{P_2}{T_2}$ e quindi a $P_1 = P_2$.
- L'ottimizzazione rispetto a y equivale a $\frac{g_1}{T_1} = \frac{g_2}{T_2}$ e quindi a $g_1 = g_2$.



Traccia della dimostrazione.

$$s = ys_1(\tau_1, \varepsilon_1) + (1 - y)s_2(\tau_2, \varepsilon_2) \quad \text{con} \quad y := \frac{z\rho_1}{\rho}$$

- L'ottimizzazione rispetto a ε_α equivale a $T_1 = T_2$.
- L'ottimizzazione rispetto a τ_α equivale a $\frac{P_1}{T_1} = \frac{P_2}{T_2}$ e quindi a $P_1 = P_2$.
- L'ottimizzazione rispetto a y equivale a $\frac{g_1}{T_1} = \frac{g_2}{T_2}$ e quindi a $g_1 = g_2$.



Traccia della dimostrazione.

$$s = ys_1(\tau_1, \varepsilon_1) + (1 - y)s_2(\tau_2, \varepsilon_2) \quad \text{con} \quad y := \frac{z\rho_1}{\rho}$$

- L'ottimizzazione rispetto a ε_α equivale a $T_1 = T_2$.
- L'ottimizzazione rispetto a τ_α equivale a $\frac{P_1}{T_1} = \frac{P_2}{T_2}$ e quindi a $P_1 = P_2$.
- L'ottimizzazione rispetto a y equivale a $\frac{g_1}{T_1} = \frac{g_2}{T_2}$ e quindi a $g_1 = g_2$.



Modellazione
del cambiamento
di fase nei flussi a
interfaccia

Gloria Faccanoni

Introduzione

Modellazione
del cambiamento
di fase

Modellazione
statica

Modellazione
dinamica

MTT-equilibrio

Interpretazione

Approssimazione

Test numerici

Prospettive

Traccia della dimostrazione.

$$s = ys_1(\tau_1, \varepsilon_1) + (1 - y)s_2(\tau_2, \varepsilon_2) \quad \text{con} \quad y := \frac{z\rho_1}{\rho}$$

- L'ottimizzazione rispetto a ε_α equivale a $T_1 = T_2$.
- L'ottimizzazione rispetto a τ_α equivale a $\frac{P_1}{T_1} = \frac{P_2}{T_2}$ e quindi a $P_1 = P_2$.
- L'ottimizzazione rispetto a y equivale a $\frac{g_1}{T_1} = \frac{g_2}{T_2}$ e quindi a $g_1 = g_2$.



Interpretazione geometrica del problema d'ottimizzazione

Modellizzazione del cambiamento di fase nei flussi a interfaccia

Gloria Faccanoni

Introduzione

Modellizzazione del cambiamento di fase

Modellizzazione statica

Modellizzazione dinamica

MTT-equilibrio

Interpretazione

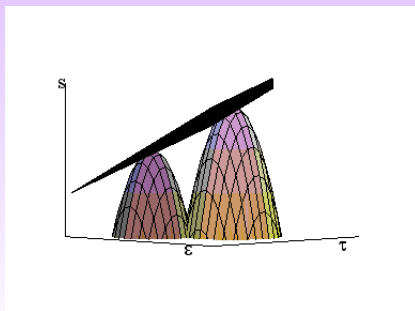
Approssimazione

Test numerici

Prospettive

Teorema

Indichiamo con S_α la superficie $(\tau, \varepsilon) \mapsto s_\alpha(\tau, \varepsilon)$ nello spazio (τ, ε, s) . Il sistema è equivalente a trovare un punto $(\tau_\alpha, \varepsilon_\alpha)$ su ciascuna superficie tale che i due iperpiani tangenti in questi punti coincidono.



Modellazione
del cambiamento
di fase nei flussi a
interfaccia

Gloria Faccanoni

Introduzione

Modellazione
del cambiamento
di fase

Modellazione
statica

Modellazione
dinamica

MTT-equilibrio

Interpretazione

Approssimazione

Test numerici

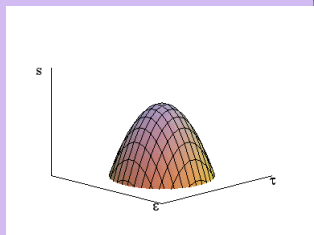
Prospettive

Traccia della dimostrazione.

$$\bar{s}_\alpha(\tau, \varepsilon) = \frac{1}{T_\alpha} \varepsilon + \frac{P_\alpha}{T_\alpha} \tau + \frac{s_\alpha T_\alpha - \varepsilon_\alpha - P_\alpha \tau_\alpha}{T_\alpha}$$

$$\bar{s}_1 \parallel \bar{s}_2 \Leftrightarrow \begin{cases} P_1 = P_2 \\ T_1 = T_2 \end{cases}$$

$$\bar{s}_1 \equiv \bar{s}_2 \Leftrightarrow g_1 = g_2$$



Modellizzazione
del cambiamento
di fase nei flussi a
interfaccia

Gloria Faccanoni

Introduzione

Modellizzazione
del cambiamento
di fase

Modellizzazione
statica

Modellizzazione
dinamica

MTT-equilibrio

Interpretazione

Approssimazione

Test numerici

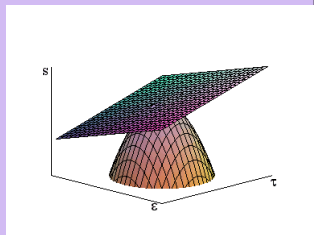
Prospettive

Traccia della dimostrazione.

$$\tilde{s}_\alpha(\tau, \varepsilon) = \frac{1}{T_\alpha} \varepsilon + \frac{P_\alpha}{T_\alpha} \tau + \frac{s_\alpha T_\alpha - \varepsilon_\alpha - P_\alpha \tau_\alpha}{T_\alpha}$$

$$\tilde{s}_1 \parallel \tilde{s}_2 \Leftrightarrow \begin{cases} P_1 = P_2 \\ T_1 = T_2 \end{cases}$$

$$\tilde{s}_1 \equiv \tilde{s}_2 \Leftrightarrow g_1 = g_2$$



Dimostrazione

Modellazione
del cambiamento
di fase nei flussi a
interfaccia

Gloria Faccanoni

Introduzione

Modellazione
del cambiamento
di fase

Modellazione
statica

Modellazione
dinamica

MTT-equilibrio

Interpretazione

Approssimazione

Test numerici

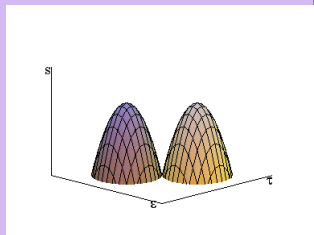
Prospettive

Traccia della dimostrazione.

$$\tilde{s}_\alpha(\tau, \varepsilon) = \frac{1}{T_\alpha} \varepsilon + \frac{P_\alpha}{T_\alpha} \tau + \frac{s_\alpha T_\alpha - \varepsilon_\alpha - P_\alpha \tau_\alpha}{T_\alpha}$$

$$\tilde{s}_1 \parallel \tilde{s}_2 \Leftrightarrow \begin{cases} P_1 = P_2 \\ T_1 = T_2 \end{cases}$$

$$\tilde{s}_1 \equiv \tilde{s}_2 \Leftrightarrow g_1 = g_2$$



Modellazione
del cambiamento
di fase nei flussi a
interfaccia

Gloria Faccanoni

Introduzione

Modellazione
del cambiamento
di fase

Modellazione
statica

Modellazione
dinamica

MTT-equilibrio

Interpretazione

Approssimazione

Test numerici

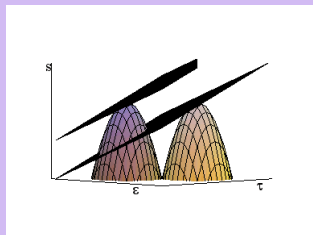
Prospettive

Traccia della dimostrazione.

$$\tilde{S}_\alpha(\tau, \varepsilon) = \frac{1}{T_\alpha} \varepsilon + \frac{P_\alpha}{T_\alpha} \tau + \frac{S_\alpha T_\alpha - \varepsilon_\alpha - P_\alpha \tau_\alpha}{T_\alpha}$$

$$\tilde{S}_1 \parallel \tilde{S}_2 \Leftrightarrow \begin{cases} P_1 = P_2 \\ T_1 = T_2 \end{cases}$$

$$\tilde{S}_1 \equiv \tilde{S}_2 \Leftrightarrow g_1 = g_2$$



Modellazione
del cambiamento
di fase nei flussi a
interfaccia

Gloria Faccanoni

Introduzione

Modellazione
del cambiamento
di fase

Modellazione
statica

Modellazione
dinamica

MTT-equilibrio

Interpretazione

Approssimazione

Test numerici

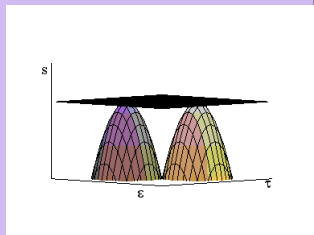
Prospettive

Traccia della dimostrazione.

$$\tilde{S}_\alpha(\tau, \varepsilon) = \frac{1}{T_\alpha} \varepsilon + \frac{P_\alpha}{T_\alpha} \tau + \frac{S_\alpha T_\alpha - \varepsilon_\alpha - P_\alpha \tau_\alpha}{T_\alpha}$$

$$\tilde{S}_1 \parallel \tilde{S}_2 \Leftrightarrow \begin{cases} P_1 = P_2 \\ T_1 = T_2 \end{cases}$$

$$\tilde{S}_1 \equiv \tilde{S}_2 \Leftrightarrow g_1 = g_2$$



Modellazione
del cambiamento
di fase nei flussi a
interfaccia

Gloria Faccanoni

Introduzione

Modellazione
del cambiamento
di fase

Modellazione
statica

Modellazione
dinamica

MTT-equilibrio

Interpretazione

Approssimazione

Test numerici

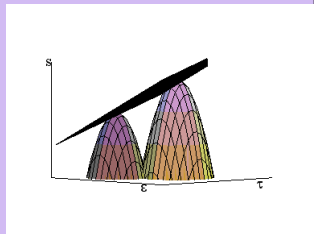
Prospettive

Traccia della dimostrazione.

$$\tilde{S}_\alpha(\tau, \varepsilon) = \frac{1}{T_\alpha} \varepsilon + \frac{P_\alpha}{T_\alpha} \tau + \frac{S_\alpha T_\alpha - \varepsilon_\alpha - P_\alpha \tau_\alpha}{T_\alpha}$$

$$\tilde{S}_1 \parallel \tilde{S}_2 \Leftrightarrow \begin{cases} P_1 = P_2 \\ T_1 = T_2 \end{cases}$$

$$\tilde{S}_1 \equiv \tilde{S}_2 \Leftrightarrow g_1 = g_2$$



Modellizzazione
del cambiamento
di fase nei flussi a
interfaccia

Gloria Faccanoni

Introduzione

Modellizzazione
del cambiamento
di fase

Modellizzazione
statica

Modellizzazione
dinamica

MTT-equilibrio

Interpretazione

Approssimazione

Test numerici

Prospettive

$s(\rho, \varepsilon)$ è l'involuppo concavo della funzione

$$(\rho, \varepsilon) \longrightarrow \max \left\{ s_1(\rho_1, \varepsilon_1), s_2 \left(\frac{\rho - z\rho_1}{1 - z}, \frac{\varepsilon - \frac{z\rho_1}{\rho}\varepsilon_1}{1 - \frac{z\rho_1}{\rho}} \right) \right\}$$

Modellazione
del cambiamento
di fase nei flussi a
interfaccia

Gloria Faccanoni

Introduzione

Modellazione
del cambiamento
di fase

Modellazione
statica

Modellazione
dinamica

MTT-equilibrio

Interpretazione

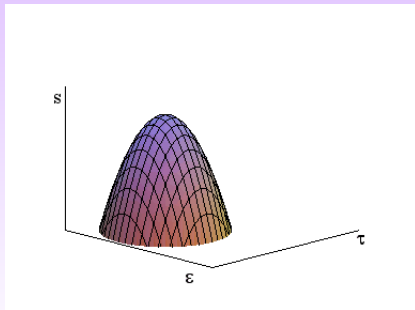
Approssimazione

Test numerici

Prospettive

$s(\rho, \varepsilon)$ è l'involuppo concavo della funzione

$$(\rho, \varepsilon) \rightarrow \max \left\{ s_1(\rho_1, \varepsilon_1), s_2 \left(\frac{\rho - z\rho_1}{1-z}, \frac{\varepsilon - \frac{z\rho_1}{\rho}\varepsilon_1}{1 - \frac{z\rho_1}{\rho}} \right) \right\}$$



Modellizzazione
del cambiamento
di fase nei flussi a
interfaccia

Gloria Faccanoni

Introduzione

Modellizzazione
del cambiamento
di fase

Modellizzazione
statica

Modellizzazione
dinamica

MTT-equilibrio

Interpretazione

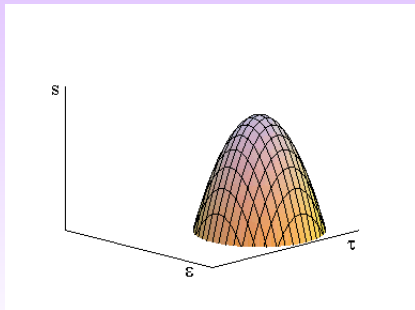
Approssimazione

Test numerici

Prospettive

$s(\rho, \varepsilon)$ è l'involuppo concavo della funzione

$$(\rho, \varepsilon) \rightarrow \max \left\{ s_1(\rho_1, \varepsilon_1), s_2 \left(\frac{\rho - z\rho_1}{1 - z}, \frac{\varepsilon - \frac{z\rho_1}{\rho} \varepsilon_1}{1 - \frac{z\rho_1}{\rho}} \right) \right\}$$



Interpretazione

Modellazione
del cambiamento
di fase nei flussi a
interfaccia

Gloria Faccanoni

Introduzione

Modellazione
del cambiamento
di fase

Modellazione
statica

Modellazione
dinamica

MTT-equilibrio

Interpretazione

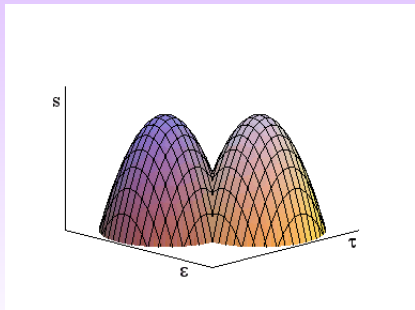
Approssimazione

Test numerici

Prospettive

$s(\rho, \varepsilon)$ è l'involuppo concavo della funzione

$$(\rho, \varepsilon) \rightarrow \max \left\{ s_1(\rho_1, \varepsilon_1), s_2 \left(\frac{\rho - z\rho_1}{1-z}, \frac{\varepsilon - \frac{z\rho_1}{\rho}\varepsilon_1}{1 - \frac{z\rho_1}{\rho}} \right) \right\}$$



Modellizzazione
del cambiamento
di fase nei flussi a
interfaccia

Gloria Faccanoni

Introduzione

Modellizzazione
del cambiamento
di fase

Modellizzazione
statica

Modellizzazione
dinamica

MTT-equilibrio

Interpretazione

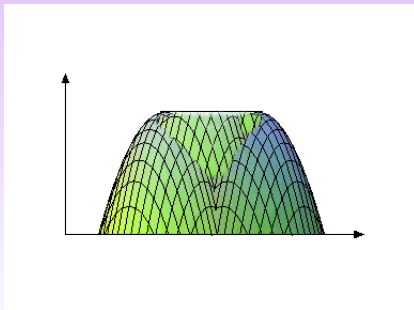
Approssimazione

Test numerici

Prospettive

$s(\rho, \varepsilon)$ è l'**inviluppo concavo** della funzione

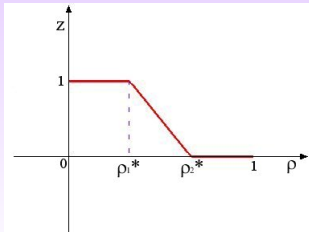
$$(\rho, \varepsilon) \rightarrow \max \left\{ s_1(\rho_1, \varepsilon_1), s_2 \left(\frac{\rho - z\rho_1}{1 - z}, \frac{\varepsilon - \frac{z\rho_1}{\rho} \varepsilon_1}{1 - \frac{z\rho_1}{\rho}} \right) \right\}$$



Conclusione

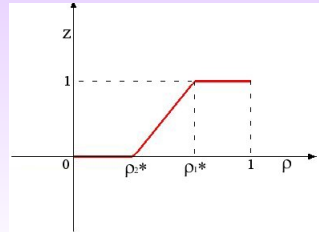
$$\text{se } \rho_1^* \leq \rho_2^*$$

$$z^* = \begin{cases} 1 & \text{se } \rho < \rho_1^*, \\ \frac{\rho - \rho_2^*}{\rho_1^* - \rho_2^*} & \text{se } \rho_1^* < \rho < \rho_2^*, \\ 0 & \text{se } \rho_2^* < \rho. \end{cases}$$



$$\text{se } \rho_1^* > \rho_2^*$$

$$z^* = \begin{cases} 0 & \text{se } \rho < \rho_2^*, \\ \frac{\rho - \rho_2^*}{\rho_1^* - \rho_2^*} & \text{se } \rho_2^* < \rho < \rho_1^*, \\ 1 & \text{se } \rho_1^* < \rho. \end{cases}$$



Modellizzazione
del cambiamento
di fase nei flussi a
interfaccia

Gloria Faccanoni

Introduzione

Modellizzazione
del cambiamento
di fase

Modellizzazione
statica

Modellizzazione
dinamica

MTT-equilibrio

Interpretazione

Approssimazione

Test numerici

Prospettive

Modellizzazione
del cambiamento
di fase nei flussi a
interfaccia

Gloria Faccanoni

Introduzione

Modellizzazione
del cambiamento
di fase

Modellizzazione
statica

Modellizzazione
dinamica

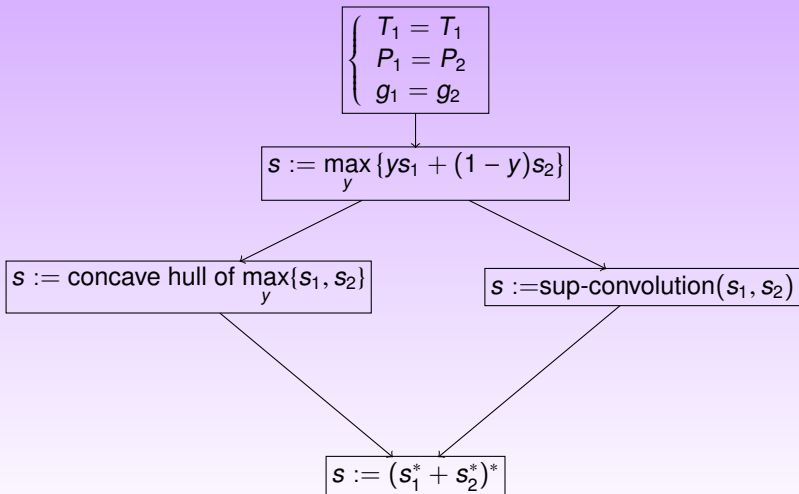
MTT-equilibrio

Interpretazione

Approssimazione

Test numerici

Prospettive



Modellazione
del cambiamento
di fase nei flussi a
interfaccia

Gloria Faccanoni

Introduzione

Modellazione
del cambiamento
di fase

Modellazione
statica

Modellazione
dinamica

MTT-equilibrio

Interpretazione

Approssimazione

Test numerici

Prospettive

- 1 Introduzione
- 2 Modellizzazione del cambiamento di fase
 - Modellizzazione statica
 - Modellizzazione dinamica
- 3 MTT-equilibrio
 - Interpretazione
 - **Approssimazione**
 - Test numerici
- 4 Prospettive

Modellazione
del cambiamento
di fase nei flussi a
interfaccia

Gloria Faccanoni

Introduzione

Modellazione
del cambiamento
di fase

Modellazione
statica

Modellazione
dinamica

MTT-equilibrio

Interpretazione

Approssimazione

Test numerici

Prospettive

- ① TAPPA CONVETTIVA:
si risolve numericamente il sistema omogeneo

$$\mathbf{v}_i^n \xrightarrow[\text{a 5 equazioni (S.Kokh)}]{\text{Algoritmo quasi-conservativo}} \widehat{\mathbf{v}}_i^n$$

- ② TAPPA DI RILASSAMENTO:
si proietta questa soluzione $\widehat{\mathbf{v}}_i^n$ sulla varietà MTT-equilibrio
i.e. si risolve il problema di ottimizzazione.

Modellazione
del cambiamento
di fase nei flussi a
interfaccia

Gloria Faccanoni

Introduzione

Modellazione
del cambiamento
di fase

Modellazione
statica

Modellazione
dinamica

MTT-equilibrio

Interpretazione

Approssimazione

Test numerici

Prospettive

- ① TAPPA CONVETTIVA:
si risolve numericamente il sistema omogeneo

$$\mathbf{v}_i^n \xrightarrow[\text{a 5 equazioni (S.Kokh)}]{\text{Algoritmo quasi-conservativo}} \widehat{\mathbf{v}}_i^n$$

- ② TAPPA DI RILASSAMENTO:
si proietta questa soluzione $\widehat{\mathbf{v}}_i^n$ sulla varietà MTT-equilibrio
i.e. si risolve il problema di ottimizzazione.

②: proiezione

Modellazione
del cambiamento
di fase nei flussi a
interfaccia

Gloria Faccanoni

Introduzione

Modellazione
del cambiamento
di fase

Modellazione
statica

Modellazione
dinamica

MTT-equilibrio

Interpretazione

Approssimazione

Test numerici

Prospettive

- Innanzitutto si utilizza il fatto che

$$\begin{cases} \partial_t \rho & = & 0 \\ \partial_t (\rho u) & = & 0 \\ \partial_t (\rho e) & = & 0 \end{cases} \quad \xrightarrow{\text{per definire}} \quad \begin{cases} \rho_i^{n+1} & = & \widehat{\rho}_i^n, \\ (\rho u)_i^{n+1} & = & \widehat{(\rho u)}_i^n, \\ (\rho e)_i^{n+1} & = & \widehat{(\rho e)}_i^n. \end{cases}$$

- si calcolano le densità parziali $\rho_\alpha^*(\rho, \varepsilon)$ ottimizzando l'entropia del miscuglio che equivale a risolvere

$$\begin{cases} \partial_t(z\rho_1) & = & (g_2 - g_1) \\ \partial_t z & = & (P_1 - P_2) \end{cases} \quad \text{per } t \rightarrow +\infty$$

- si utilizzano le $(\rho_\alpha^*)_i^n$ per aggiornare z_i^{n+1} :

②: proiezione

Modellazione
del cambiamento
di fase nei flussi a
interfaccia

Gloria Faccanoni

Introduzione

Modellazione
del cambiamento
di fase

Modellazione
statica

Modellazione
dinamica

MTT-equilibrio

Interpretazione

Approssimazione

Test numerici

Prospettive

- Innanzitutto si utilizza il fatto che

$$\begin{cases} \partial_t \rho & = & 0 \\ \partial_t (\rho u) & = & 0 \\ \partial_t (\rho e) & = & 0 \end{cases} \quad \xrightarrow{\text{per definire}} \quad \begin{cases} \rho_i^{n+1} & = & \widehat{\rho}_i^n, \\ (\rho u)_i^{n+1} & = & \widehat{(\rho u)}_i^n, \\ (\rho e)_i^{n+1} & = & \widehat{(\rho e)}_i^n. \end{cases}$$

- si calcolano le densità parziali $\rho_\alpha^*(\rho, \varepsilon)$ ottimizzando l'entropia del miscuglio che equivale a risolvere

$$\begin{cases} \partial_t (z\rho_1) & = & (g_2 - g_1) \\ \partial_t z & = & (P_1 - P_2) \end{cases} \quad \text{per } t \rightarrow +\infty$$

- si utilizzano le $(\rho_\alpha^*)_i^n$ per aggiornare z_i^{n+1} :

②: proiezione

Modellazione
del cambiamento
di fase nei flussi a
interfaccia

Gloria Faccanoni

Introduzione

Modellazione
del cambiamento
di fase

Modellazione
statica

Modellazione
dinamica

MTT-equilibrio

Interpretazione

Approssimazione

Test numerici

Prospettive

- Innanzitutto si utilizza il fatto che

$$\begin{cases} \partial_t \rho & = & 0 \\ \partial_t (\rho u) & = & 0 \\ \partial_t (\rho e) & = & 0 \end{cases} \quad \xrightarrow{\text{per definire}} \quad \begin{cases} \rho_i^{n+1} & = & \widehat{\rho}_i^n, \\ (\rho u)_i^{n+1} & = & \widehat{(\rho u)}_i^n, \\ (\rho e)_i^{n+1} & = & \widehat{(\rho e)}_i^n. \end{cases}$$

- si calcolano le densità parziali $\rho_\alpha^*(\rho, \varepsilon)$ ottimizzando l'entropia del miscuglio che equivale a risolvere

$$\begin{cases} \partial_t (z\rho_1) & = & (g_2 - g_1) \\ \partial_t z & = & (P_1 - P_2) \end{cases} \quad \text{per } t \rightarrow +\infty$$

- si utilizzano le $(\rho_\alpha^*)_i^n$ per aggiornare z_i^{n+1} :

②: proiezione

Modellizzazione
del cambiamento
di fase nei flussi a
interfaccia

Gloria Faccanoni

Introduzione

Modellizzazione
del cambiamento
di fase

Modellizzazione
statica

Modellizzazione
dinamica

MTT-equilibrio

Interpretazione

Approssimazione

Test numerici

Prospettive

$$(\rho_1^*)_i^n \leq (\rho_2^*)_i^n \Rightarrow z_i^{n+1} = \begin{cases} 1 & \text{se } \rho_i^{n+1} < (\rho_1^*)_i^n, \\ \frac{\rho_i^{n+1} - (\rho_2^*)_i^n}{(\rho_1^*)_i^n - (\rho_2^*)_i^n} & \text{se } (\rho_1^*)_i^n < \rho_i^{n+1} < (\rho_2^*)_i^n, \\ 0 & \text{se } (\rho_2^*)_i^n < \rho_i^{n+1}. \end{cases}$$

$$(\rho_1^*)_i^n > (\rho_2^*)_i^n \Rightarrow z_i^{n+1} = \begin{cases} 0 & \text{se } \rho_i^{n+1} < (\rho_2^*)_i^n, \\ \frac{\rho_i^{n+1} (\rho_2^*)_i^n}{(\rho_1^*)_i^n - (\rho_2^*)_i^n} & \text{se } (\rho_2^*)_i^n < \rho_i^{n+1} < (\rho_1^*)_i^n, \\ 1 & \text{se } (\rho_1^*)_i^n < \rho_i^{n+1}. \end{cases}$$

Tappa di proiezione

Modellazione
del cambiamento
di fase nei flussi a
interfaccia

Gloria Faccanoni

Introduzione

Modellazione
del cambiamento
di fase

Modellazione
statica

Modellazione
dinamica

MTT-equilibrio

Interpretazione

Approssimazione

Test numerici

Prospettive

- Innanzitutto si utilizza il fatto che

$$\left\{ \begin{array}{l} \partial_t \rho = 0 \\ \partial_t (\rho u) = 0 \\ \partial_t (\rho e) = 0 \end{array} \right. \quad \xrightarrow{\text{per definire}} \quad \left\{ \begin{array}{l} \rho_i^{n+1} = \widehat{\rho}_i^n, \\ (\rho u)_i^{n+1} = \widehat{(\rho u)}_i^n, \\ (\rho e)_i^{n+1} = \widehat{(\rho e)}_i^n. \end{array} \right.$$

- **si calcolano le densità parziali $\rho_\alpha^*(\rho, \varepsilon)$ ottimizzando l'entropia del miscuglio.**
- si utilizzano le $(\rho_\alpha^*)_i^n$ per aggiornare z_i^{n+1} .

Se troviamo l'unica coppia (ρ_1^*, ρ_2^*) soluzione del problema di ottimizzazione, avremo completamente determinato la varietà MTT-equilibrio.

Tappa di proiezione

Modellazione
del cambiamento
di fase nei flussi a
interfaccia

Gloria Faccanoni

Introduzione

Modellazione
del cambiamento
di fase

Modellazione
statica

Modellazione
dinamica

MTT-equilibrio

Interpretazione

Approssimazione

Test numerici

Prospettive

- Innanzitutto si utilizza il fatto che

$$\begin{cases} \partial_t \rho = 0 \\ \partial_t (\rho u) = 0 \\ \partial_t (\rho e) = 0 \end{cases} \quad \xrightarrow{\text{per definire}} \quad \begin{cases} \rho_i^{n+1} = \widehat{\rho}_i^n, \\ (\rho u)_i^{n+1} = \widehat{(\rho u)}_i^n, \\ (\rho e)_i^{n+1} = \widehat{(\rho e)}_i^n. \end{cases}$$

- si calcolano le densità parziali $\rho_\alpha^*(\rho, \varepsilon)$ ottimizzando l'entropia del miscuglio.
- si utilizzano le $(\rho_\alpha^*)_i^n$ per aggiornare z_i^{n+1} .

Se troviamo l'unica coppia (ρ_1^*, ρ_2^*) soluzione del problema di ottimizzazione, avremo completamente determinato la varietà MTT-equilibrio.

Modellazione
del cambiamento
di fase nei flussi a
interfaccia

Gloria Faccanoni

Introduzione

Modellazione
del cambiamento
di fase

Modellazione
statica

Modellazione
dinamica

MTT-equilibrio

Interpretazione

Approssimazione

Test numerici

Prospettive

Leggi di stato:

$$P_\alpha = (\gamma_\alpha - 1) \frac{\varepsilon_\alpha}{\tau_\alpha} \quad \text{con} \quad \varepsilon_\alpha = c_{v_\alpha} T_\alpha$$

$$s_\alpha = c_{v_\alpha} \log\left(\varepsilon_\alpha (\tau_\alpha)^{\gamma_\alpha - 1}\right) + s_\alpha^0.$$

s_α^0 : stato termodinamico di riferimento,

(in questo seminario supporremo la normalizzazione $s_\alpha^0 = 0$).

Modellazione
del cambiamento
di fase nei flussi a
interfaccia

Gloria Faccanoni

Introduzione

Modellazione
del cambiamento
di fase

Modellazione
statica

Modellazione
dinamica

MTT-equilibrio

Interpretazione

Approssimazione

Test numerici

Prospettive

Leggi di stato:

$$P_\alpha = (\gamma_\alpha - 1) \frac{\varepsilon_\alpha}{\tau_\alpha} \quad \text{con} \quad \varepsilon_\alpha = c_{v_\alpha} T_\alpha$$

$$s_\alpha = c_{v_\alpha} \log\left(\varepsilon_\alpha (\tau_\alpha)^{\gamma_\alpha - 1}\right) + s_\alpha^0.$$

s_α^0 : stato termodinamico di riferimento,

(in questo seminario supporremo la normalizzazione $s_\alpha^0 = 0$).

Modellazione
del cambiamento
di fase nei flussi a
interfaccia

Gloria Faccanoni

Introduzione

Modellazione
del cambiamento
di fase

Modellazione
statica

Modellazione
dinamica

MTT-equilibrio

Interpretazione

Approssimazione

Test numerici

Prospettive

Leggi di stato:

$$P_\alpha = (\gamma_\alpha - 1) \frac{\varepsilon_\alpha}{\tau_\alpha} \quad \text{con} \quad \varepsilon_\alpha = c_{v_\alpha} T_\alpha$$

$$s_\alpha = c_{v_\alpha} \log\left(\varepsilon_\alpha (\tau_\alpha)^{\gamma_\alpha - 1}\right) + s_\alpha^0.$$

s_α^0 : stato termodinamico di riferimento,

(in questo seminario supporremo la normalizzazione $s_\alpha^0 = 0$).

Dobbiamo pertanto risolvere il sistema:

$$\begin{cases} T_1 = T_2 \\ (\gamma_1 - 1)c_{v_1}\tau_2 = (\gamma_2 - 1)c_{v_2}\tau_1 \\ c_{v_1} [\log(\varepsilon_1 \tau_1^{\gamma_1 - 1}) - \gamma_1] = c_{v_2} [\log(\varepsilon_2 \tau_2^{\gamma_2 - 1}) - \gamma_2] \end{cases}$$

con i vincoli

$$\begin{cases} \varepsilon = y\varepsilon_1 + (1 - y)\varepsilon_2 \\ \tau = y\tau_1 + (1 - y)\tau_2 \end{cases}$$

Modellazione
del cambiamento
di fase nei flussi a
interfaccia

Gloria Faccanoni

Introduzione

Modellazione
del cambiamento
di fase

Modellazione
statica

Modellazione
dinamica

MTT-equilibrio

Interpretazione

Approssimazione

Test numerici

Prospettive

Caso 1 $c_{V_1} = c_{V_2}$ e $\gamma_1 \neq \gamma_2$;

Caso 2 $c_{V_1} \neq c_{V_2}$ e $c_{V_1}(\gamma_1 - 1) = c_{V_2}(\gamma_2 - 1)$

Caso 3 $c_{V_1} \neq c_{V_2}$ e $c_{p_1} = c_{p_2}$

Caso 4 $c_{V_1} \neq c_{V_2}$ e $c_{V_1}(\gamma_1 - 1) \neq c_{V_2}(\gamma_2 - 1)$, $c_{V_1}\gamma_1 \neq c_{V_2}\gamma_2$

Modellazione
del cambiamento
di fase nei flussi a
interfaccia

Gloria Faccanoni

Introduzione

Modellazione
del cambiamento
di fase

Modellazione
statica

Modellazione
dinamica

MTT-equilibrio

Interpretazione

Approssimazione

Test numerici

Prospettive

Caso 1 $c_{v_1} = c_{v_2}$ e $\gamma_1 \neq \gamma_2$;

Caso 2 $c_{v_1} \neq c_{v_2}$ e $c_{v_1}(\gamma_1 - 1) = c_{v_2}(\gamma_2 - 1)$

Caso 3 $c_{v_1} \neq c_{v_2}$ e $c_{p_1} = c_{p_2}$

Caso 4 $c_{v_1} \neq c_{v_2}$ e $c_{v_1}(\gamma_1 - 1) \neq c_{v_2}(\gamma_2 - 1)$, $c_{v_1}\gamma_1 \neq c_{v_2}\gamma_2$

Modellazione
del cambiamento
di fase nei flussi a
interfaccia

Gloria Faccanoni

Introduzione

Modellazione
del cambiamento
di fase

Modellazione
statica

Modellazione
dinamica

MTT-equilibrio

Interpretazione

Approssimazione

Test numerici

Prospettive

Caso 1 $c_{V_1} = c_{V_2}$ e $\gamma_1 \neq \gamma_2$;

Caso 2 $c_{V_1} \neq c_{V_2}$ e $c_{V_1}(\gamma_1 - 1) = c_{V_2}(\gamma_2 - 1)$

Caso 3 $c_{V_1} \neq c_{V_2}$ e $c_{p_1} = c_{p_2}$

Caso 4 $c_{V_1} \neq c_{V_2}$ e $c_{V_1}(\gamma_1 - 1) \neq c_{V_2}(\gamma_2 - 1)$, $c_{V_1}\gamma_1 \neq c_{V_2}\gamma_2$

Caso 1: $c_{V_1} = c_{V_2}$

Modellizzazione
del cambiamento
di fase nei flussi a
interfaccia

Gloria Faccanoni

Introduzione

Modellizzazione
del cambiamento
di fase

Modellizzazione
statica

Modellizzazione
dinamica

MTT-equilibrio

Interpretazione

Approssimazione

Test numerici

Prospettive

$$\begin{cases} \rho_1^* = \exp(-1) \left(\frac{\gamma_2 - 1}{\gamma_1 - 1} \right)^{\frac{\gamma_2 - 1}{\gamma_2 - \gamma_1}} \\ \rho_2^* = \exp(-1) \left(\frac{\gamma_2 - 1}{\gamma_1 - 1} \right)^{\frac{\gamma_1 - 1}{\gamma_2 - \gamma_1}} \end{cases}$$

Curva di saturazione per il miscuglio liquido-vapore:

$$P = \begin{cases} (\gamma_1 - 1)\rho_1\varepsilon_1, & \text{per } \rho < \rho_1^* \\ \Gamma^* c_V T^*, & \text{per } \rho_1^* \leq \rho \leq \rho_2^* \\ (\gamma_2 - 1)\rho_2\varepsilon_2, & \text{per } \rho > \rho_2^* \end{cases}$$

dove

$$\Gamma^* := \exp(-1) \left(\frac{(\gamma_2 - 1)^{(\gamma_2 - 1)}}{(\gamma_1 - 1)^{(\gamma_1 - 1)}} \right)^{\frac{1}{(\gamma_2 - 1) - (\gamma_1 - 1)}}$$

$$T^* = T(\rho, \varepsilon, \rho_1^*, \rho_2^*)$$

OSSERVAZIONE: $P \in C^0$, ma $\notin C^1$.

Caso 1: $c_{V_1} = c_{V_2}$

Modellizzazione
del cambiamento
di fase nei flussi a
interfaccia

Gloria Faccanoni

Introduzione

Modellizzazione
del cambiamento
di fase

Modellizzazione
statica

Modellizzazione
dinamica

MTT-equilibrio

Interpretazione

Approssimazione

Test numerici

Prospettive

$$\begin{cases} \rho_1^* = \exp(-1) \left(\frac{\gamma_2 - 1}{\gamma_1 - 1} \right)^{\frac{\gamma_2 - 1}{\gamma_2 - \gamma_1}} \\ \rho_2^* = \exp(-1) \left(\frac{\gamma_2 - 1}{\gamma_1 - 1} \right)^{\frac{\gamma_1 - 1}{\gamma_2 - \gamma_1}} \end{cases}$$

Curva di saturazione per il miscuglio liquido-vapore:

$$P = \begin{cases} (\gamma_1 - 1)\rho_1\varepsilon_1, & \text{per } \rho < \rho_1^* \\ \Gamma^* c_v T^*, & \text{per } \rho_1^* \leq \rho \leq \rho_2^* \\ (\gamma_2 - 1)\rho_2\varepsilon_2, & \text{per } \rho > \rho_2^* \end{cases}$$

dove

$$\Gamma^* := \exp(-1) \left(\frac{(\gamma_2 - 1)^{(\gamma_2 - 1)}}{(\gamma_1 - 1)^{(\gamma_1 - 1)}} \right)^{\frac{1}{(\gamma_2 - 1) - (\gamma_1 - 1)}}$$

$$T^* = T(\rho, \varepsilon, \rho_1^*, \rho_2^*)$$

OSSERVAZIONE: $P \in C^0$, ma $\notin C^1$.

Caso 1: $c_{V_1} = c_{V_2}$

Modellizzazione
del cambiamento
di fase nei flussi a
interfaccia

Gloria Faccanoni

Introduzione

Modellizzazione
del cambiamento
di fase

Modellizzazione
statica

Modellizzazione
dinamica

MTT-equilibrio

Interpretazione

Approssimazione

Test numerici

Prospettive

$$\begin{cases} \rho_1^* = \exp(-1) \left(\frac{\gamma_2 - 1}{\gamma_1 - 1} \right)^{\frac{\gamma_2 - 1}{\gamma_2 - \gamma_1}} \\ \rho_2^* = \exp(-1) \left(\frac{\gamma_2 - 1}{\gamma_1 - 1} \right)^{\frac{\gamma_1 - 1}{\gamma_2 - \gamma_1}} \end{cases}$$

Curva di saturazione per il miscuglio liquido-vapore:

$$P = \begin{cases} (\gamma_1 - 1)\rho_1\varepsilon_1, & \text{per } \rho < \rho_1^* \\ \Gamma^* c_v T^*, & \text{per } \rho_1^* \leq \rho \leq \rho_2^* \\ (\gamma_2 - 1)\rho_2\varepsilon_2, & \text{per } \rho > \rho_2^* \end{cases}$$

dove

$$\Gamma^* := \exp(-1) \left(\frac{(\gamma_2 - 1)^{(\gamma_2 - 1)}}{(\gamma_1 - 1)^{(\gamma_1 - 1)}} \right)^{\frac{1}{(\gamma_2 - 1) - (\gamma_1 - 1)}}$$

$$T^* = T(\rho, \varepsilon, \rho_1^*, \rho_2^*)$$

OSSERVAZIONE: $P \in C^0$, ma $\notin C^1$.

Caso generale: $c_{V_1} \neq c_{V_2}$ con $c_{V_1}(\gamma_1 - 1) \neq c_{V_2}(\gamma_2 - 1)$ e $c_{V_1}\gamma_1 \neq c_{V_2}\gamma_2$

$$\tau_\alpha^* = A_\alpha (T^*)^B$$

dove

$$\left\{ \begin{array}{l} B = \frac{c_{V_2} - c_{V_1}}{(\gamma_1 - 1)c_{V_1} - (\gamma_2 - 1)c_{V_2}} \\ A_1 = \left[\frac{(c_{V_2})^{c_{V_2}}}{(c_{V_1})^{c_{V_1}}} \left(\frac{(\gamma_2 - 1)c_{V_2}}{(\gamma_1 - 1)c_{V_1}} \right)^{(\gamma_2 - 1)c_{V_2}} \exp(c_{V_1}\gamma_1 - c_{V_2}\gamma_2) \right]^{\frac{1}{(\gamma_1 - 1)c_{V_1} - (\gamma_2 - 1)c_{V_2}}} \\ A_2 = \left[\frac{(c_{V_2})^{c_{V_2}}}{(c_{V_1})^{c_{V_1}}} \left(\frac{(\gamma_2 - 1)c_{V_2}}{(\gamma_1 - 1)c_{V_1}} \right)^{(\gamma_1 - 1)c_{V_1}} \exp(c_{V_1}\gamma_1 - c_{V_2}\gamma_2) \right]^{\frac{1}{(\gamma_1 - 1)c_{V_1} - (\gamma_2 - 1)c_{V_2}}} \end{array} \right.$$

e $T^*(\tau, \varepsilon)$ è la temperatura d'equilibrio definita come la radice della funzione...

Caso generale: $c_{V_1} \neq c_{V_2}$ con $c_{V_1}(\gamma_1 - 1) \neq c_{V_2}(\gamma_2 - 1)$ e $c_{V_1}\gamma_1 \neq c_{V_2}\gamma_2$

$$\tau_\alpha^* = A_\alpha (T^*)^B$$

dove

$$\left\{ \begin{array}{l} B = \frac{c_{V_2} - c_{V_1}}{(\gamma_1 - 1)c_{V_1} - (\gamma_2 - 1)c_{V_2}} \\ A_1 = \left[\frac{(c_{V_2})^{c_{V_2}}}{(c_{V_1})^{c_{V_1}}} \left(\frac{(\gamma_2 - 1)c_{V_2}}{(\gamma_1 - 1)c_{V_1}} \right)^{(\gamma_2 - 1)c_{V_2}} \exp(c_{V_1}\gamma_1 - c_{V_2}\gamma_2) \right]^{\frac{1}{(\gamma_1 - 1)c_{V_1} - (\gamma_2 - 1)c_{V_2}}} \\ A_2 = \left[\frac{(c_{V_2})^{c_{V_2}}}{(c_{V_1})^{c_{V_1}}} \left(\frac{(\gamma_2 - 1)c_{V_2}}{(\gamma_1 - 1)c_{V_1}} \right)^{(\gamma_1 - 1)c_{V_1}} \exp(c_{V_1}\gamma_1 - c_{V_2}\gamma_2) \right]^{\frac{1}{(\gamma_1 - 1)c_{V_1} - (\gamma_2 - 1)c_{V_2}}} \end{array} \right.$$

e $T^*(\tau, \varepsilon)$ è la temperatura d'equilibrio definita come la radice della funzione...

Caso generale

Modellazione
del cambiamento
di fase nei flussi a
interfaccia

Gloria Faccanoni

Introduzione

Modellazione
del cambiamento
di fase

Modellazione
statica

Modellazione
dinamica

MTT-equilibrio

Interpretazione

Approssimazione

Test numerici

Prospettive

$$f : (0, +\infty) \longrightarrow \mathbb{R}$$

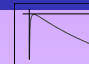
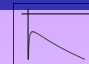
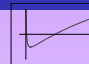
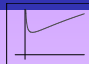
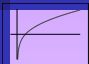
$$T \longmapsto a_3 T^B + a_2 T^{B-1} + a_1$$

dove

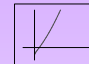
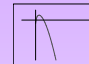
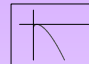
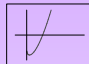
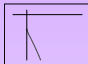
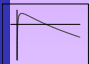
$$\left\{ \begin{array}{l} a_1 := \tau (c_{v2} - c_{v1}), \\ a_2 := \varepsilon \left[\frac{(\gamma_1 - 1)c_{v1}}{(\gamma_2 - 1)c_{v2}} - 1 \right] \left[\frac{(c_{v2})^{c_{v2}}}{(c_{v1})^{c_{v1}}} \left(\frac{(\gamma_2 - 1)c_{v2}}{(\gamma_1 - 1)c_{v1}} \right)^{(\gamma_1 - 1)c_{v1}} \exp(c_{v1}\gamma_1 - c_{v2}\gamma_2) \right]^{\frac{1}{(\gamma_1 - 1)c_{v1} - (\gamma_2 - 1)c_{v2}}}, \\ a_3 := c_{v1} \left[1 - \frac{(\gamma_1 - 1)}{(\gamma_2 - 1)} \right] \left[\frac{(c_{v2})^{c_{v2}}}{(c_{v1})^{c_{v1}}} \left(\frac{(\gamma_2 - 1)c_{v2}}{(\gamma_1 - 1)c_{v1}} \right)^{(\gamma_1 - 1)c_{v1}} \exp(c_{v1}\gamma_1 - c_{v2}\gamma_2) \right]^{\frac{1}{(\gamma_1 - 1)c_{v1} - (\gamma_2 - 1)c_{v2}}} \end{array} \right.$$

Caso generale

Modellizzazione
del cambiamento
di fase nei flussi a
interfaccia

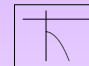
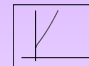
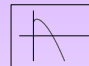
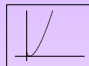
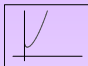


Gloria Faccanoni

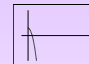
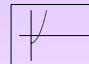
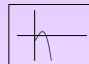
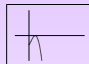
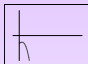
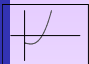


Introduzione

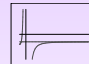
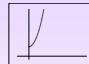
Modellizzazione
del cambiamento
di fase



Modellizzazione
statica



Modellizzazione
dinamica



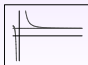
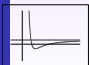
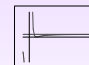
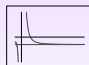
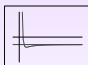
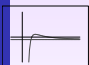
MTT-equilibrio

Interpretazione

Approssimazione

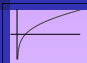
Test numerici

Prospettive



Caso generale

Modellazione
del cambiamento
di fase nei flussi a
interfaccia



Gloria Faccanoni



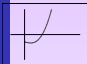
Introduzione

Modellazione
del cambiamento
di fase



Modellazione
statica

Modellazione
dinamica



MTT-equilibrio

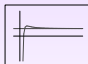
Interpretazione

Approssimazione

Test numerici



Prospettive



Equazione della curva di saturazione:

$$P^* = (T^*)^{\frac{(c_{v2} \gamma_2 - c_{v1} \gamma_1)}{(c_{v2} (\gamma_2 - 1) - c_{v1} (\gamma_1 - 1))}} \left[\frac{((\gamma_2 - 1)^{(\gamma_2 - 1)} c_{v2}^{\gamma_2})^{c_{v2}}}{((\gamma_1 - 1)^{(\gamma_1 - 1)} c_{v1}^{\gamma_1})^{c_{v1}}} \exp(c_{v1} \gamma_1 - c_{v2} \gamma_2) \right]^{\frac{1}{(c_{v2} (\gamma_2 - 1) - c_{v1} (\gamma_1 - 1))}}$$

Modellazione
del cambiamento
di fase nei flussi a
interfaccia

Gloria Faccanoni

Introduzione

Modellazione
del cambiamento
di fase

Modellazione
statica

Modellazione
dinamica

MTT-equilibrio

Interpretazione
Approssimazione

Test numerici

Prospettive

- 1 Introduzione
- 2 Modellizzazione del cambiamento di fase
 - Modellizzazione statica
 - Modellizzazione dinamica
- 3 MTT-equilibrio
 - Interpretazione
 - Approssimazione
 - Test numerici
- 4 Prospettive

Modellazione
del cambiamento
di fase nei flussi a
interfaccia

Gloria Faccanoni

Introduzione

Modellazione
del cambiamento
di fase

Modellazione
statica

Modellazione
dinamica

MTT-equilibrio

Interpretazione
Approssimazione

Test numerici

Prospettive

- 1-D: un dominio di 1 m di lunghezza con una interfaccia.

•	c_v	$\text{J} \cdot \text{kg}^{-1} \cdot \text{K}^{-1}$	LIQUIDO	VAPORE
	γ	$(= c_p/c_v)$	1816.2	1040.14
			2.35	1.43

- $T|_{t=0} = 400 \text{ K}$ in tutto il dominio
- $(P, \rho_1, \rho_2)|_{t=0} (T)$ tali che ci sia EQUILIBRIO.

- 1-D: un dominio di 1 m di lunghezza con una interfaccia.

- $$\begin{array}{c} c_v \\ \gamma \end{array} \quad \begin{array}{c} \text{J} \cdot \text{kg}^{-1} \cdot \text{K}^{-1} \\ (= c_p/c_v) \end{array} \quad \left| \begin{array}{c} \text{LIQUIDO} \\ 1816.2 \\ 2.35 \end{array} \right| \begin{array}{c} \text{VAPORE} \\ 1040.14 \\ 1.43 \end{array}$$

- $T|_{t=0} = 400 \text{ K}$ in tutto il dominio
- $(P, \rho_1, \rho_2)|_{t=0} (T)$ tali che ci sia EQUILIBRIO.

- 1-D: un dominio di 1 m di lunghezza con una interfaccia.

- $$\begin{array}{c} c_v \\ \gamma \end{array} \quad \begin{array}{c} \text{J} \cdot \text{kg}^{-1} \cdot \text{K}^{-1} \\ (= c_p/c_v) \end{array} \quad \left| \begin{array}{c} \text{LIQUIDO} \\ 1816.2 \\ 2.35 \end{array} \right| \quad \left| \begin{array}{c} \text{VAPORE} \\ 1040.14 \\ 1.43 \end{array} \right.$$

- $T|_{t=0} = 400 \text{ K}$ in tutto il dominio
- $(P, \rho_1, \rho_2)|_{t=0} (T)$ tali che ci sia EQUILIBRIO.

- 1-D: un dominio di 1 m di lunghezza con una interfaccia.

- $$\begin{array}{c} c_v \\ \gamma \end{array} \quad \begin{array}{c} \text{J} \cdot \text{kg}^{-1} \cdot \text{K}^{-1} \\ (= c_p/c_v) \end{array} \quad \left| \begin{array}{c} \text{LIQUIDO} \\ 1816.2 \\ 2.35 \end{array} \right| \quad \left| \begin{array}{c} \text{VAPORE} \\ 1040.14 \\ 1.43 \end{array} \right.$$

- $T|_{t=0} = 400 \text{ K}$ in tutto il dominio
- $(P, \rho_1, \rho_2)|_{t=0} (T)$ tali che ci sia EQUILIBRIO.

Modellazione
del cambiamento
di fase nei flussi a
interfaccia

Gloria Faccanoni

Introduzione

Modellazione
del cambiamento
di fase

Modellazione
statica

Modellazione
dinamica

MTT-equilibrio

Interpretazione

Approssimazione

Test numerici

Prospettive

- $u = 100$ m/s in
ciascun lato
dell'interfaccia
- condizioni ai
limiti: infinite

Modellizzazione
del cambiamento
di fase nei flussi a
interfaccia

Gloria Faccanoni

Introduzione

Modellizzazione
del cambiamento
di fase

Modellizzazione
statica

Modellizzazione
dinamica

MTT-equilibrio

Interpretazione

Approssimazione

Test numerici

Prospettive

- $u = 100$ m/s in
ciascun lato
dell'interfaccia
- condizioni ai
limiti: infinite

Modellazione
del cambiamento
di fase nei flussi a
interfaccia

Gloria Faccanoni

Introduzione

Modellazione
del cambiamento
di fase

Modellazione
statica

Modellazione
dinamica

MTT-equilibrio

Interpretazione
Approssimazione

Test numerici

Prospettive

- $u = 100$ m/s in
ciascun lato
dell'interfaccia
- condizioni ai
limiti: infinite

Modellazione
del cambiamento
di fase nei flussi a
interfaccia

Gloria Faccanoni

Introduzione

Modellazione
del cambiamento
di fase

Modellazione
statica

Modellazione
dinamica

MTT-equilibrio

Interpretazione

Approssimazione

Test numerici

Prospettive

- $u = 100$ m/s in
ciascun lato
dell'interfaccia
- condizioni ai
limiti: infinite

Muro - Pistone

Modellazione
del cambiamento
di fase nei flussi a
interfaccia

Gloria Faccanoni

Introduzione

Modellazione
del cambiamento
di fase

Modellazione
statica

Modellazione
dinamica

MTT-equilibrio

Interpretazione
Approssimazione

Test numerici

Prospettive

- $u = 0$ m/s in
ciascun lato
dell'interfaccia
- condizioni ai
limiti:
 - Destra:
Muro
 - Sinistra:
Pistone
$$u_{\text{pistone}} = -100 \text{ m/s}$$

Modellazione
del cambiamento
di fase nei flussi a
interfaccia

Gloria Faccanoni

Introduzione

Modellazione
del cambiamento
di fase

Modellazione
statica

Modellazione
dinamica

MTT-equilibrio

Interpretazione
Approssimazione

Test numerici

Prospettive

- $u = 0$ m/s in
ciascun lato
dell'interfaccia
- condizioni ai
limiti:
 - Destra:
Muro
 - Sinistra:
Pistone
$$u_{\text{pistone}} = -100 \text{ m/s}$$

Muro - Pistone

Modellizzazione
del cambiamento
di fase nei flussi a
interfaccia

Gloria Faccanoni

Introduzione

Modellizzazione
del cambiamento
di fase

Modellizzazione
statica

Modellizzazione
dinamica

MTT-equilibrio

Interpretazione
Approssimazione

Test numerici

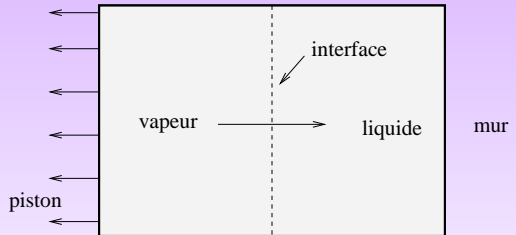
Prospettive

- $u = 0$ m/s in
ciascun lato
dell'interfaccia
- condizioni ai
limiti:

- Destra:
Muro

- Sinistra:
Pistone

$$u_{\text{pistone}} = -100 \text{ m/s}$$



Modellazione
del cambiamento
di fase nei flussi a
interfaccia

Gloria Faccanoni

Introduzione

Modellazione
del cambiamento
di fase

Modellazione
statica

Modellazione
dinamica

MTT-equilibrio

Interpretazione
Approssimazione

Test numerici

Prospettive

- $u = 0$ m/s in ciascun lato dell'interfaccia
- condizioni ai limiti:
 - Destra:
Muro
 - Sinistra:
Pistone
 $u_{\text{pistone}} = -100$ m/s

Modellazione
del cambiamento
di fase nei flussi a
interfaccia

Gloria Faccanoni

Introduzione

Modellazione
del cambiamento
di fase

Modellazione
statica

Modellazione
dinamica

MTT-equilibrio

Interpretazione
Approssimazione

Test numerici

Prospettive

- $u = 0$ m/s in
ciascun lato
dell'interfaccia
- condizioni ai
limiti:
 - Destra:
Muro
 - Sinistra:
Pistone
$$u_{\text{pistone}} = +200 \text{ m/s}$$

Modellazione
del cambiamento
di fase nei flussi a
interfaccia

Gloria Faccanoni

Introduzione

Modellazione
del cambiamento
di fase

Modellazione
statica

Modellazione
dinamica

MTT-equilibrio

Interpretazione
Approssimazione

Test numerici

Prospettive

- $u = 0$ m/s in
ciascun lato
dell'interfaccia
- condizioni ai
limiti:
 - Destra:
Muro
 - Sinistra:
Pistone
 $u_{\text{pistone}} =$
+200 m/s

Modellizzazione
del cambiamento
di fase nei flussi a
interfaccia

Gloria Faccanoni

Introduzione

Modellizzazione
del cambiamento
di fase

Modellizzazione
statica

Modellizzazione
dinamica

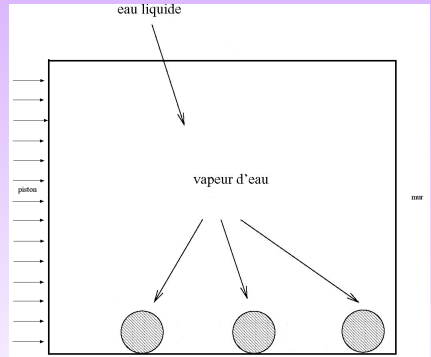
MTT-equilibrio

Interpretazione
Approssimazione

Test numerici

Prospettive

- $u = 0$ m/s in
ciascun lato
dell'interfaccia
- condizioni ai
limiti:
 - Destra:
Muro
 - Sinistra:
Pistone
$$u_{\text{pistone}} = +200 \text{ m/s}$$



Modellazione
del cambiamento
di fase nei flussi a
interfaccia

Gloria Faccanoni

Introduzione

Modellazione
del cambiamento
di fase

Modellazione
statica

Modellazione
dinamica

MTT-equilibrio

Interpretazione
Approssimazione

Test numerici

Prospettive

- $u = 0$ m/s in
ciascun lato
dell'interfaccia
- condizioni ai
limiti:
 - Destra:
Muro
 - Sinistra:
Pistone
 $u_{\text{pistone}} =$
 $+200$ m/s

Modellazione
del cambiamento
di fase nei flussi a
interfaccia

Gloria Faccanoni

Introduzione

Modellazione
del cambiamento
di fase

Modellazione
statica

Modellazione
dinamica

MTT-equilibrio

Interpretazione
Approssimazione
Test numerici

Prospettive

- 1 Introduzione
- 2 Modellizzazione del cambiamento di fase
 - Modellizzazione statica
 - Modellizzazione dinamica
- 3 MTT-equilibrio
 - Interpretazione
 - Approssimazione
 - Test numerici
- 4 Prospettive

Modellizzazione
del cambiamento
di fase nei flussi a
interfaccia

Gloria Faccanoni

Introduzione

Modellizzazione
del cambiamento
di fase

Modellizzazione
statica

Modellizzazione
dinamica

MTT-equilibrio

Interpretazione
Approssimazione
Test numerici

Prospettive

- Stiffened Gas
- Iperbolicità
- studio di “leggi di stato del miscuglio” più globali: ad esempio potenziali d’interazione
- risoluzione con la trasformata di Legendre
- presa in considerazione della capillarità (tensione di superficie)
- studio del punto triplo du point triple
- introduzione del cambiamento di fase in un quadro di simulazione 3D (TRITON)